

Starkniederschlagshöhen und -spenden gemäß KOSTRA-DWD-2010R

Auswertungszeitraum von 1951 - 2010, Januar - Dezember

Rasterfeld: 37013

Zeile: 37

Spalte: 13

Seite: 1/2

| Dauerstufe D | Wiederkehrzeit T | | | | | | | | | | | | | | | | | | |
|--------------|------------------|------|------------|------|------------|------|------------|------|------------|------|------------|------|------------|------|------------|-------|------------|-------|------------|
| | 1 a | | 2 a | | 3 a | | 5 a | | 10 a | | 20 a | | 30 a | | 50 a | | 100 a | | |
| min | Std | mm | l / (s ha) | mm | l / (s ha) | mm | l / (s ha) | mm | l / (s ha) | mm | l / (s ha) | mm | l / (s ha) | mm | l / (s ha) | mm | l / (s ha) | mm | l / (s ha) |
| 5 | | 4,8 | 160,0 | 6,7 | 223,3 | 7,8 | 260,0 | 9,2 | 306,7 | 11,0 | 366,7 | 12,9 | 430,0 | 14,0 | 466,7 | 15,4 | 513,3 | 17,3 | 576,7 |
| 10 | | 7,7 | 128,3 | 10,1 | 168,3 | 11,6 | 193,3 | 13,4 | 223,3 | 15,9 | 265,0 | 18,3 | 305,0 | 19,8 | 330,0 | 21,6 | 360,0 | 24,1 | 401,7 |
| 15 | | 9,6 | 106,7 | 12,5 | 138,9 | 14,2 | 157,8 | 16,3 | 181,1 | 19,2 | 213,3 | 22,1 | 245,6 | 23,8 | 264,4 | 25,9 | 287,8 | 28,8 | 320,0 |
| 20 | | 11,0 | 91,7 | 14,2 | 118,3 | 16,1 | 134,2 | 18,5 | 154,2 | 21,7 | 180,8 | 25,0 | 208,3 | 26,8 | 223,3 | 29,2 | 243,3 | 32,5 | 270,8 |
| 30 | | 12,8 | 71,1 | 16,6 | 92,2 | 18,8 | 104,4 | 21,6 | 120,0 | 25,4 | 141,1 | 29,2 | 162,2 | 31,4 | 174,4 | 34,2 | 190,0 | 38,0 | 211,1 |
| 45 | | 14,4 | 53,3 | 18,9 | 70,0 | 21,5 | 79,6 | 24,7 | 91,5 | 29,2 | 108,1 | 33,6 | 124,4 | 36,2 | 134,1 | 39,5 | 146,3 | 43,9 | 162,6 |
| 60 | | 15,4 | 42,8 | 20,4 | 56,7 | 23,3 | 64,7 | 26,9 | 74,7 | 31,9 | 88,6 | 36,9 | 102,5 | 39,8 | 110,6 | 43,4 | 120,6 | 48,4 | 134,4 |
| 90 | | 16,9 | 31,3 | 22,2 | 41,1 | 25,3 | 46,9 | 29,2 | 54,1 | 34,5 | 63,9 | 39,8 | 73,7 | 42,9 | 79,4 | 46,8 | 86,7 | 52,1 | 96,5 |
| 120 | 2 | 18,1 | 25,1 | 23,6 | 32,8 | 26,9 | 37,4 | 31,0 | 43,1 | 36,5 | 50,7 | 42,1 | 58,5 | 45,3 | 62,9 | 49,4 | 68,6 | 55,0 | 76,4 |
| 180 | 3 | 19,9 | 18,4 | 25,8 | 23,9 | 29,3 | 27,1 | 33,6 | 31,1 | 39,6 | 36,7 | 45,5 | 42,1 | 49,0 | 45,4 | 53,3 | 49,4 | 59,2 | 54,8 |
| 240 | 4 | 21,2 | 14,7 | 27,5 | 19,1 | 31,1 | 21,6 | 35,7 | 24,8 | 41,9 | 29,1 | 48,1 | 33,4 | 51,7 | 35,9 | 56,3 | 39,1 | 62,5 | 43,4 |
| 360 | 6 | 23,3 | 10,8 | 30,0 | 13,9 | 33,8 | 15,6 | 38,7 | 17,9 | 45,3 | 21,0 | 52,0 | 24,1 | 55,8 | 25,8 | 60,7 | 28,1 | 67,4 | 31,2 |
| 540 | 9 | 25,6 | 7,9 | 32,7 | 10,1 | 36,9 | 11,4 | 42,1 | 13,0 | 49,1 | 15,2 | 56,2 | 17,3 | 60,3 | 18,6 | 65,6 | 20,2 | 72,6 | 22,4 |
| 720 | 12 | 27,4 | 6,3 | 34,8 | 8,1 | 39,2 | 9,1 | 44,6 | 10,3 | 52,0 | 12,0 | 59,4 | 13,8 | 63,8 | 14,8 | 69,2 | 16,0 | 76,6 | 17,7 |
| 1080 | 18 | 30,1 | 4,6 | 38,0 | 5,9 | 42,6 | 6,6 | 48,5 | 7,5 | 56,4 | 8,7 | 64,3 | 9,9 | 68,9 | 10,6 | 74,7 | 11,5 | 82,6 | 12,7 |
| 1440 | 24 | 32,2 | 3,7 | 40,5 | 4,7 | 45,3 | 5,2 | 51,4 | 5,9 | 59,7 | 6,9 | 68,0 | 7,9 | 72,8 | 8,4 | 78,9 | 9,1 | 87,2 | 10,1 |
| 2880 | 48 | 40,5 | 2,3 | 50,3 | 2,9 | 56,0 | 3,2 | 63,2 | 3,7 | 73,0 | 4,2 | 82,8 | 4,8 | 88,5 | 5,1 | 95,7 | 5,5 | 105,5 | 6,1 |
| 4320 | 72 | 46,4 | 1,8 | 57,0 | 2,2 | 63,3 | 2,4 | 71,1 | 2,7 | 81,7 | 3,2 | 92,4 | 3,6 | 98,6 | 3,8 | 106,5 | 4,1 | 117,1 | 4,5 |

Angaben in mm: Bemessungsniederschlagswerte h(n)

Angaben in l / (s ha): Regenspende R(n) mit $R(n) = h(n) \times 1,666667 / D[\text{min}]$

Toleranzbereiche:

+/- 10 % für $1 a \leq T \leq 5 a$

+/- 15 % für $5 a < T \leq 50 a$

+/- 20 % für $50 a < T \leq 100 a$

Datenbasis: KOSTRA-DWD-2010R des Deutschen Wetterdienstes. Die Regenspende wurde auf Basis des Bemessungsniederschlags zur jeweiligen Andauer berechnet.

Für die Richtigkeit und Aktualität der Angaben wird keine Gewähr übernommen. Erstellt 07/2022.

Starkniederschlagshöhen und -spenden gemäß KOSTRA-DWD-2010R

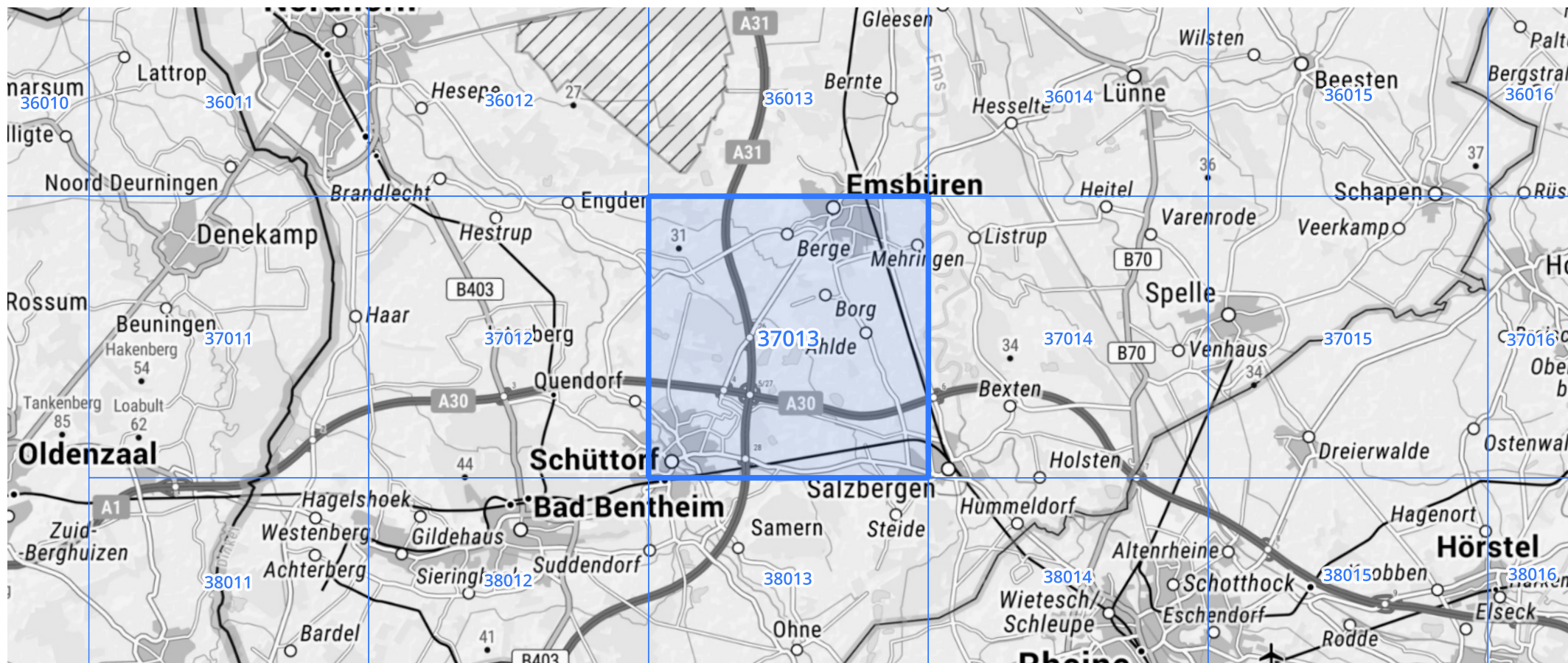
Auswertungszeitraum von 1951 - 2010, Januar - Dezember

Rasterfeld: 37013

Zeile: 37

Spalte: 13

Seite: 2/2



Quelle Rasterdaten: KOSTRA-DWD-2010R des Deutschen Wetterdienstes.

Kartendarstellung: © Bundesamt für Kartographie und Geodäsie (2022), Datenquellen: https://sgx.geodatenzentrum.de/web_public/gdz/datenquellen/Datenquellen_TopPlusOpen.html

Für die Richtigkeit und Aktualität der Angaben wird keine Gewähr übernommen. Erstellt 07/2022.